

北京谱仪(BES II)上 p 和 \bar{p} 鉴别的研究*

李会红^{1,2;1)} 刘峰¹ 李金² 苑长征² 王至勇^{2,3}

1(华中师范大学粒子物理研究所 武汉 430079)

2(中国科学院高能物理研究所 北京 100039)

3(中国高等科学技术中心 北京 100080)

摘要 以北京谱仪(BES)上常用的 3 种粒子鉴别方法为基础,充分利用 BES II 所获取的 R 值扫描、 J/ψ 和 ψ' 数据中 p, \bar{p} 以及其他带电粒子样本,对动量范围在 0.3—1.2GeV 的 p 和 \bar{p} 鉴别方法进行分析研究。找到 BES II 上 p 和 \bar{p} 的最佳鉴别方法:动量低于 0.6GeV 只用 dE/dx 实现粒子鉴别,动量高于 0.6GeV 可用 TOF 或联合鉴别的方法,并给出 p, \bar{p} 的鉴别效率以及本底的混入比例。

关键词 北京谱仪 II 质子 反质子 粒子鉴别

1 引言

北京谱仪(BES)是安装在北京正负电子对撞机(BEPC)上的一个通用型粒子探测装置,用于 2.0—5.0GeV 能区内 $e^+ e^-$ 对撞产生末态粒子的探测,进行该能区各种物理课题研究。为了研究对撞产生的末态,必须确定末态粒子的个数、种类和动量,一旦这 3 个物理量被测定,反应末态就完全被确定了。在许多物理课题的研究中,如测量衰变道的分支比或截面,粒子鉴别在整个物理分析中占有举足轻重的地位。BES 上可以直接测量到带电粒子 e, μ, π, K, p 和中性粒子 γ 。对于带电粒子的鉴别,BES 的 2 个子探测器飞行时间计数器(TOF)和主漂移室(MDC)扮演着非常重要的角色,可以单独用 TOF 或由 MDC 给出的 dE/dx 信息对粒子进行鉴别,也可以将两者的信息联合起来使用。

在可直接测量的粒子中质子的质量最大,比较容易与其他带电粒子区分开,但是反质子在探测器中的行为与质子有差异,特别是在低能的时候,所以有必要对两者的各种鉴别方法做比较研究。BES I 升级为 BES II 后,首先开展了 R 值的细致扫描工作^[1],质心系能量覆盖了 2.0—5.0GeV。利用这批数据,完全有可能通过测量 2.0—3.0GeV 各能量点的

$e^+ e^- \rightarrow p \bar{p}$ 截面,得到质子在类时过程中的电磁形状因子^[2,3]。末态粒子 p, \bar{p} 在该能区内的动量谱范围为 0.347—1.171GeV,在动量如此广的范围, $p \bar{p}$ 的截面又非常小,各能量点的亮度也非常有限,末态事例数很少,粒子鉴别方法选择的恰当与否对整个物理结果起着非常重要的作用。

为了研究 p, \bar{p} 的粒子鉴别,首先要有合适的样本。对于样本的来源,可以通过 MC 产生,也可以来自于真实数据。两种方法各有利弊:用 MC 虽然可以得到比较纯的各种反应事例的大样本,但是不能完全保证这些样本能够如实地反映粒子在探测器中的行为;来源于真实数据的样本虽然受所获取数据种类、数量等的局限,但能真实地反应各种物理过程及其在探测器中的行为。

升级后的 BES II,其 TOF 系统对 Bhabha 事例的时间分辨率是 180ps,相对 BES I 的 330ps 有了很大的改善。1998—2002 年,BES II 积累了 2.0—5.0GeV R 值扫描、5800 万 J/ψ 和 1400 万 ψ' 数据。本文充分利用这些数据挑选出纯度较高的各种带电粒子样本,对动量在 0.3—1.2GeV 的 p 和 \bar{p} 鉴别做细致研究:比较 3 种粒子鉴别方法的效率,以及其他带电粒子在这 3 种鉴别方法中的混入率,综合比较两者结果,给出该动量范围的 p 和 \bar{p} 最佳鉴别方案。

2002-12-17 收稿

* 国家自然科学基金(19991480, 19825116, 19805009), 中国科学院重大项目(KJ95T-03), 百人计划经费(u-25)资助

1) E-mail: lihh@mail.ihep.ac.cn

2 3 种粒子鉴别方法

2.1 dE/dx 粒子鉴别原理

单位电荷的带电粒子通过等效厚度为 t (g/cm^2) 的气体时, 最可几电离能量损失由 Landau 公式^[4] 给出:

$$\begin{aligned} dE/dx|_{np} &= \frac{2\pi ne^4 t}{m_e v^2 \rho} \times \\ &\left[\ln\left(\frac{2m_e v^2 (2\pi ne^4 t / m_e v^2 \rho)}{I^2 (1 - \beta^2)}\right) - \beta^2 + 0.198 - \delta \right], \end{aligned} \quad (1)$$

式中 n, ρ, I 分别为介质单位体积中的电子数、物质密度和平均电离电位; e, m_e 为电子电荷和质量; v 为带电粒子速度; $\beta = \frac{v}{c}$ (c 是光速); δ 是由于密度效应引入的修正项。对于 BES II 的 MDC 工作气体, 上式可简化为^[5]:

$$dE/dx|_{np} = \frac{125x}{\beta^2} (8.226 + \ln x + 2\ln \gamma - \beta^2 - \delta), \quad (2)$$

式中 x 是以 cm 为单位的物质层厚度; $\gamma = \frac{1}{\sqrt{1 - \beta^2}}$ 。

由于动量相同的不同带电粒子(e, μ, π, K, p)有不同的 β 值, 所以它们的 dE/dx 值也不一样, 实验中正是利用该差别来实现对不同带电粒子的鉴别。定义测量到的 $(dE/dx)_{\text{meas}}$ 相对于假定粒子 i (e, μ, π, K, p) 预期值 $(dE/dx)_{\text{exp}}$ 的偏离为

$$\chi^i_{dE/dx} = \frac{(dE/dx)_{\text{meas}} - (dE/dx)_{\text{exp}}^i}{\sigma_{dE/dx}^i}, \quad (3)$$

式中 $\sigma_{dE/dx}^i$ 为对于粒子 i 的 dE/dx 的标准偏差。根据概率统计的观点, 被测定粒子 i 的 $\chi^i_{dE/dx}$ 服从标准正态分布。

2.2 TOF 粒子鉴别原理

TOF 可以测量带电粒子从 $e^+ e^-$ 对撞点飞行到 TOF 击中点的时间 t_{meas} 。利用 MDC 测得粒子的动量 p 和飞行距离 L 可得到假定质量为 m_i 的粒子 i 的预期飞行时间

$$t_{\text{exp}}^i = \frac{L \sqrt{p^2 + m_i^2 c^2}}{pc}. \quad (4)$$

具有相同动量和相同飞行距离的不同带电粒子, 其预期飞行时间是不同的, 粒子质量相差越大它

们的预期飞行时间的差别也越大。实验上正是利用测量时间 t_{meas} 与所期望粒子 i 的预期飞行时间做比较来实现粒子的鉴别。定义 TOF 测量的飞行时间 t_{meas} 相对于假定粒子 i 的预期飞行时间值 t_{exp} 的偏离为

$$\chi^i_{\text{TOF}} = \frac{t_{\text{meas}} - t_{\text{exp}}^i}{\sigma_t^i}, \quad (5)$$

式中 σ_t^i 为对于粒子 i 的 TOF 的标准偏差, 与 $\chi^i_{dE/dx}$ 一样, 被测定粒子 i 的 χ^i_{TOF} 也服从标准正态分布。

2.3 dE/dx 和 TOF 联合粒子鉴别原理

上面的两种粒子鉴别方法所用的信息是来自于两个不同的子探测器, 所以两种方法是相互独立的。为了充分利用这两种粒子鉴别方法, 可以同时用上 dE/dx 和 TOF 信息, 将两者的信息联合(COMBINE)起来使用。定义

$$(\chi^i_{\text{COM}})^2 = (\chi^i_{dE/dx})^2 + (\chi^i_{\text{TOF}})^2. \quad (6)$$

2.4 粒子鉴别条件

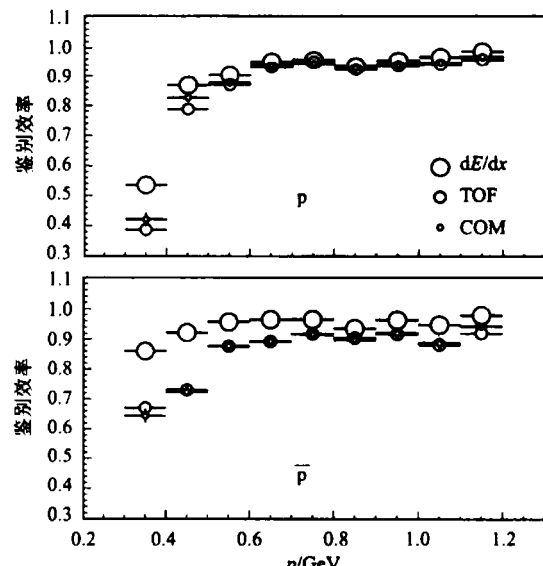
本文所用的粒子鉴别条件是: 用 dE/dx 进行粒子鉴别时要求概率密度函数 prob $((\chi^i_{dE/dx})^2, 1) > 0.01$ 。TOF 粒子鉴别要求 prob $((\chi^i_{\text{TOF}})^2, 1) > 0.01$ 。用联合鉴别方法时:(1) 粒子只有 dE/dx 信息时要求 prob $((\chi^i_{dE/dx})^2, 1) > 0.01$; (2) 只有 TOF 信息时要求 prob $((\chi^i_{\text{TOF}})^2, 1) > 0.01$; (3) 两个信息都有时要求 prob $((\chi^i_{\text{COM}})^2, 2) > 0.01$ 。在 BES 上还可以比较各种粒子假定的 χ^2 大小, 用相对比较的方法做粒子鉴别。

3 3 种方法鉴别 p 和 \bar{p} 的效率

为了用真实的实验数据比较 p 和 \bar{p} 的 3 种粒子鉴别方法, 首先必须在实验数据中选出较纯的 p 和 \bar{p} 样本, 但是要避免在挑选样本时使用这 3 种粒子鉴别条件。用 BES II 已获取的数据通过 $J/\psi \rightarrow \pi^+ \pi^- p \bar{p}$ 和 $\psi' \rightarrow \pi^+ \pi^- J/\psi \rightarrow \pi^+ \pi^- p \bar{p}$ 反应道, 利用四动量拟合条件的限制和对其他 3 种粒子做粒子鉴别, 分别获取 p 和 \bar{p} 样本。利用 J/ψ 反应道选择动量小于 1.1 GeV 的样本, 用 ψ' 反应道可以挑选大动量的样本。具体选择条件如下:

- (a) 带电径迹数为 4, 径迹拟合质量为 2 或 -19;

- (b) 极角范围 $|\cos\theta| \leq 0.75$;
- (c) 假定末态粒子为 $\pi^+ \pi^- p \bar{p}$, 要求四动量拟合的概率密度 $\text{prob}(\chi^2, 4) > 0.01$;
- (d) 4 个带电粒子中要求有 2 个粒子为 $\pi^+ \pi^-$, 其他两粒子为 $p \bar{p}$ 的候选者;
- (e) 对于 ψ' 反应道还需对 J/ψ 不变质量有一定要求;
- (f) 选 p 样本时, 对 \bar{p} 候选者做较严的粒子鉴别, 要求 $\text{prob}((\chi_{\text{d}E/dx}^p)^2, 1) > 0.3$ 和 $\text{prob}((\chi_{\text{TOF}}^p)^2, 1) > 0.3$, 即该径迹用 dE/dx 和 TOF 鉴别都确定是 p, 则另一个就是 \bar{p} ;
- (g) 选 \bar{p} 样本, 与选 p 样本类似, 对 p 候选者做较严的粒子鉴别;
- (h) p 和 \bar{p} 的动量要求, 范围取 0.3—1.2 GeV, 以 0.1 GeV 为步长, 分为 9 个不同的动量段. 用 MC 分别产生 1 万个 $J/\psi \rightarrow \pi^+ \pi^- \pi^+ \pi^-$ 和 $J/\psi \rightarrow \pi^+ \pi^- K^+ K^-$ 事例, 经过上面挑选 p(\bar{p}) 样本所用的条件, 在各动量段没有一个事例通过, 说明所挑选到的样本纯, 基本没有 π 和 K 本底的混入.

图 1 p 和 \bar{p} 的鉴别效率

将所获得的样本分别经过第二部分所介绍的 3 种粒子鉴别条件, 实现对 p 和 \bar{p} 的鉴别, 鉴别前后事例数的比值即为鉴别效率, 结果见图 1, 效率值列于表 1 中. 表中最后一列给出 dE/dx 和 TOF 鉴别效率的差别(相对百分比). 比较这些效率值, 得到如下信息:

(1) 对于 p, 动量在 0.3—0.4 GeV, 每一种方法的鉴别效率都非常低, 低于 60%; dE/dx 的效率要比 TOF 高出 32%. 动量在 0.4—0.5 GeV, dE/dx 的

表 1 p 和 \bar{p} 的鉴别效率

动量段/GeV	$dE/dx(\%)$		TOF(%)		联合(%)		差别(%)	
	p	\bar{p}	p	\bar{p}	p	\bar{p}	p	\bar{p}
0.3—0.4	53.6	86.1	38.8	67.1	42.2	64.4	32.0	24.8
	± 2.1	± 1.6	± 2.1	± 2.2	± 2.1	± 2.3	± 6.4	± 3.8
0.4—0.5	87.0	92.3	78.8	73.2	82.3	72.6	9.8	23.1
	± 1.1	± 0.9	± 1.3	± 1.6	± 1.2	± 1.6	± 2.1	± 2.3
0.5—0.6	90.4	95.82	87.2	87.8	87.8	87.9	3.7	8.8
	± 0.8	± 0.6	± 0.9	± 0.9	± 0.9	± 0.9	± 1.4	± 1.2
0.6—0.7	95.4	96.6	93.4	89.4	94.3	89.4	2.1	7.7
	± 0.6	± 0.5	± 0.7	± 0.8	± 0.7	± 0.8	± 1.0	± 1.1
0.7—0.8	96.0	96.7	95.4	92.0	94.8	91.8	0.6	5.0
	± 0.5	± 0.4	± 0.5	± 0.7	± 0.6	± 0.7	± 0.8	± 0.8
0.8—0.9	94.0	93.8	92.7	90.7	93.2	90.0	1.3	3.4
	± 0.6	± 0.6	± 0.7	± 0.7	± 0.7	± 1.0	± 1.0	± 1.0
0.9—1.0	95.9	96.6	93.9	91.9	94.6	92.4	2.1	5.0
	± 0.6	± 0.5	± 0.7	± 0.7	± 0.6	± 0.7	± 0.9	± 0.9
1.0—1.1	97.3	95.1	94.5	88.5	95.2	89.1	2.9	7.2
	± 1.0	± 1.2	± 1.3	± 1.7	± 1.3	± 1.7	± 1.7	± 2.3
1.1—1.2	99.3	98.3	96.5	92.4	97.4	94.6	2.9	6.2
	± 0.4	± 0.6	± 0.9	± 1.3	± 0.8	± 1.1	± 1.0	± 1.6

效率要比 TOF 高出 10%. 动量高于 0.5 GeV, dE/dx 和 TOF 鉴别效率相差不大. 0.3—1.2 GeV 整个动量范围内, TOF 和联合鉴别的效率相近.

(2) 对于 \bar{p} , 动量小于 0.5 GeV, dE/dx 的鉴别效率比 TOF 高出 25%. 整个动量范围内, dE/dx 的鉴别效率明显要高于 TOF 和联合的, 而 TOF 和联合的鉴别效率相差不大.

(3) 比较 p 和 \bar{p} : 动量小于 0.4 GeV, \bar{p} 3 种鉴别方法的效率都明显要比 p 高约 50%, 原因是 \bar{p} 具有好 dE/dx 和 TOF 信息事例的比例要比 p 高, 即低动量 p 中有较多的径迹中没有好的 dE/dx 和 TOF 信息.

4 其他带电粒子对 p 和 \bar{p} 鉴别的混入

粒子鉴别除了要求效率要高以外, 还必须尽可能地排除本底. 为此, 从 $J/\psi \rightarrow \pi^+ \pi^- K^+ K^-$ 的衰变道中选出 π 和 K 强子样本, 选择方法与选择 p 和 \bar{p} 样本的方法类似, 利用四动量拟合条件 $\text{prob}(\chi^2, 4) > 0.01$ 和对其他 3 粒子做粒子鉴别分别获得各动量段的 π^+ , π^- 和 K^+ , K^- 样本(各动量段约有几百个事例样本量). 用 MC 产生 1 万个 $J/\psi \rightarrow \pi^+ \pi^- p \bar{p}$ 事例,

经过上面的 π , K 样本获取的条件, 在各动量段没有一个事例通过, 说明所挑选到的样本很纯, 没有 p 和 \bar{p} 的混入.

将这些本底样本经过质子的 3 种粒子鉴别条件, 通过事例数与总样本事例数的比值可得到 π , K 样本在质子 3 种粒子鉴别条件下的本底混入率. 图 2 和图 3 分别给出 π^+ , π^- 和 K^+ , K^- 样本对质子的 3 种鉴别方法的本底混入情况. 表 2 列出 π , K 的本底混入率. 可以看出, 对于 π 本底, 结论是:

(1) 动量小于 0.8 GeV, 3 种鉴别方法中都没有本底的混入.

(2) 动量大于 0.8 GeV, 在 dE/dx 鉴别中本底开始混入, 且混入率随着动量增加越来越大, 动量在 1.1—1.2 GeV 区间达到 40%; TOF 和联合鉴别方法中本底混入很小, 几乎为零.

对于 K 本底, 结论是:

(1) 动量小于 0.8 GeV, 与 π 本底一样, 3 种质子鉴别方法中都没有本底的混入.

(2) 动量大于 0.8 GeV 以后, dE/dx 鉴别方法中本底的混入与 π 一样, 随着动量增加, 混入率越来越大; 但是 TOF 和联合鉴别方法中开始有少量的 K 本底混入, 且 TOF 鉴别中的混入率要比联合鉴别的大, 说明用联合的方法鉴别质子, 其排除 K 本底的本领最强.

此外, 利用 R 值在质心能量为 2.0, 2.2 和 2.4 GeV 的扫描数据, 通过 Bhabha 和 Dimu 的辐射衰变道选择 e^- , e^+ , μ^+ 和 μ^- 的真实数据样本. 这些样本都来自于背对背事例, e 样本的选择要求径迹在 BSC 的沉积能量与动量的比值大于 0.7(各动量段约有几百至几千个事例样本量); 选择 μ 样本要求径迹

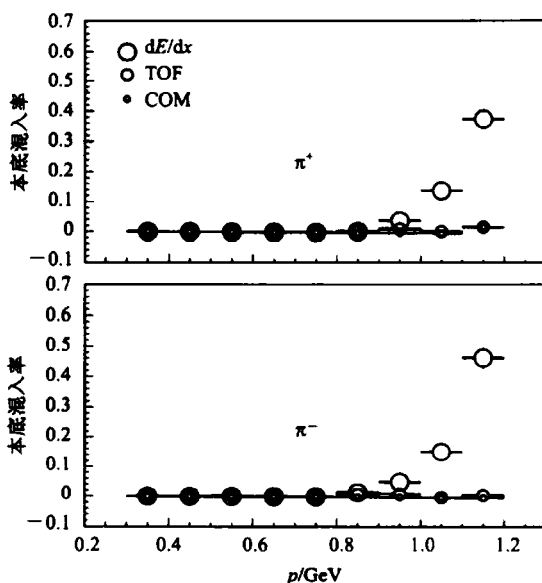


图 2 π 本底混入率

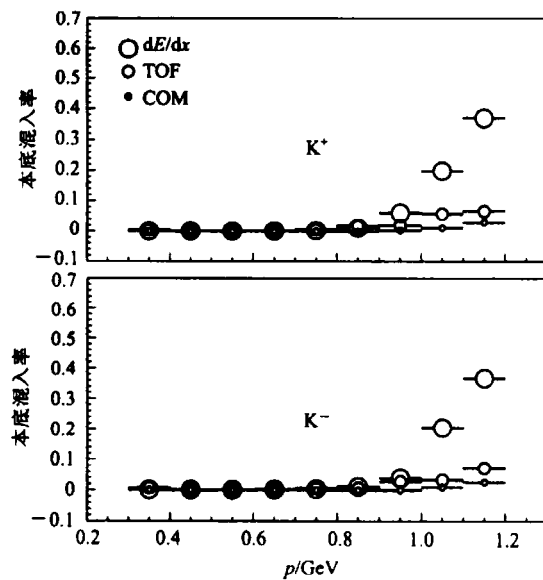


图 3 K 本底混入率

表 2 π , K 本底混入率

动量段/GeV	$dE/dx(\%)$			TOF(%)			联合(%)			$dE/dx(\%)$			TOF(%)			联合(%)		
	π^+	π^-	π^+	π^-	π^+	π^-	π^+	π^-	K^+	K^-	K^+	K^-	K^+	K^-	K^+	K^-		
0.3—0.4	0	0	0	0	0	0	0	0	0	0	0.5	0.8	0	0	0	0		
0.4—0.5	0	0	0	0	0	0	0	0	0	0	0	0	0	0	0	0		
0.5—0.6	0	0	0	0	0	0	0	0	0	0	0.1	0	0	0	0	0		
0.6—0.7	0	0	0	0	0	0	0	0	0.1	0.1	0.1	0.1	0	0	0	0		
0.7—0.8	0	0	0	0	0	0	0	0	0.3	0.3	0.6	0.6	0	0	0	0		
0.8—0.9	0.5 ± 0.3	1.5 ± 0.6	0.5 ± 0.3	1.1 ± 0.5	0	0	0	0	1.1 ± 0.4	1.2 ± 0.4	1.9 ± 0.5	0.6 ± 0.3	0	0	0	0		
0.9—1.0	4.2 ± 1.2	5.2 ± 1.2	1.4 ± 0.7	1.2 ± 0.6	0	0	0	0	6.2 ± 1.0	3.9 ± 0.8	2.2 ± 0.6	2.8 ± 0.7	0.3 ± 0.3	0	0	0		
1.0—1.1	14.2 ± 1.9	15.6 ± 2.3	0.6 ± 0.4	0	0	0	0	20.0 ± 1.7	20.5 ± 1.7	5.9 ± 1.0	3.4 ± 0.8	1.3 ± 0.5	1.1 ± 0.4	0	0	0		
1.1—1.2	38.0 ± 2.9	46.8 ± 3.3	2.2 ± 0.9	0.9 ± 0.6	2.2 ± 0.9	0	0	37.1 ± 1.9	36.8 ± 1.8	6.9 ± 1.0	7.3 ± 1.0	3.1 ± 0.7	2.7 ± 0.6	0	0	0		

在 μ 计数器中的总击中数大于或等于 5(各动量段约有几百个事例样本量). 所获取的轻子样本很纯, 不会有强子的混入, 因为背对背的双叉 $\pi^+ \pi^-$, K^+ 和 K^- 和 $p\bar{p}$ 产额非常少.

e^+, e^-, μ^+ 和 μ^- 样本对质子的 3 种粒子鉴别条件的本底混入状况见图 4 和图 5, 数值列于表 3 中. 对于 e 本底, 结论是:

(1) 动量大于 0.6GeV, 在 dE/dx 鉴别条件下本底开始混入, 而且混入率随着动量增加越来越大, 到 0.9GeV 混入率接近 100%.

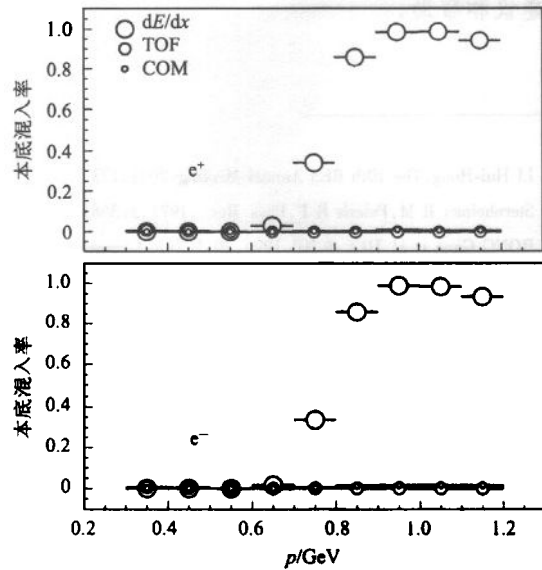


图 4 e 本底混入率

(2) 在整个动量范围内, TOF 和联合鉴别中本底混入率几乎为零.

在 BES 上很难得到动量在 0.8GeV 以下的 μ 样本, 所以这里选取 μ 样本的动量大于 0.8GeV.

μ 本底的混入情况:

(1) 在 dE/dx 鉴别中 μ 的混入率随动量增加越来越大, 最高可达 80%.

(2) 联合鉴别中也会有少量的 μ 混入.

(3) TOF 鉴别最好, 几乎没有 μ 的混入.

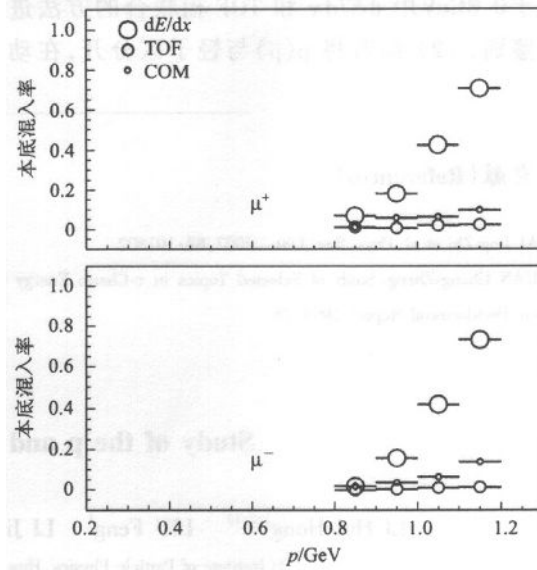


图 5 μ 本底混入率

表 3 e, μ 本底混入率

动量段/GeV	$dE/dx(\%)$		TOF(%)		联合(%)		$dE/dx(\%)$		TOF(%)		联合(%)	
	e^+	e^-	e^+	e^-	e^+	e^-	μ^+	μ^-	μ^+	μ^-	μ^+	μ^-
0.3—0.4	0	0	0.6 ± 0.5	0.6 ± 0.4	0	0	7.1 ± 3.1	2.0 ± 2.0	1.4 ± 1.4	0	1.4 ± 1.4	2.0 ± 2.0
0.4—0.5	0	0	0.4 ± 0.4	0.4 ± 0.4	0	0	18.7 ± 2.8	16.1 ± 2.7	1.0 ± 0.7	0.6 ± 0.6	6.2 ± 1.7	3.9 ± 1.4
0.5—0.6	0	0	0	0	0	0	42.9 ± 2.6	42.6 ± 2.6	2.6 ± 0.8	1.4 ± 0.6	6.8 ± 1.3	6.9 ± 1.4
0.6—0.7	2.9 ± 0.8	1.6 ± 0.6	0	0	0	0	71.1 ± 2.3	73.8 ± 2.2	3.1 ± 0.9	1.7 ± 0.6	10.4 ± 1.5	14.5 ± 1.7
0.7—0.8	34.2 ± 1.8	33.7 ± 1.8	0	0.1 ± 0.1	0.3 ± 0.2	0.4 ± 0.3	42.6 ± 2.6	42.6 ± 2.6	2.6 ± 0.8	1.4 ± 0.6	6.8 ± 1.3	6.9 ± 1.4
0.8—0.9	86.0 ± 0.9	86.0 ± 1.0	0	0.2 ± 0.1	0.4 ± 0.2	1.4 ± 0.3	1.8 ± 3.1	1.8 ± 2.0	1.0 ± 1.4	0.6 ± 0.6	6.2 ± 1.7	3.9 ± 1.4
0.9—1.0	98.8 ± 0.1	99.0 ± 0.1	0.1 ± 0.0	0.1 ± 0.0	1.2 ± 0.1	1.2 ± 0.1	18.7 ± 2.8	16.1 ± 2.7	1.0 ± 0.7	0.6 ± 0.6	6.2 ± 1.7	3.9 ± 1.4
1.0—1.1	99.0 ± 0.1	98.7 ± 0.1	0.1 ± 0.0	0.1 ± 0.0	1.0 ± 0.1	1.0 ± 0.1	42.9 ± 2.6	42.6 ± 2.6	2.6 ± 0.8	1.4 ± 0.6	6.8 ± 1.3	6.9 ± 1.4
1.1—1.2	94.6 ± 0.3	93.7 ± 0.3	0.2 ± 0.1	0.2 ± 0.1	1.0 ± 0.1	1.0 ± 0.1	71.1 ± 2.3	73.8 ± 2.2	3.1 ± 0.9	1.7 ± 0.6	10.4 ± 1.5	14.5 ± 1.7

5 结果与讨论

p 和 \bar{p} 鉴别效率的差异在低能表现尤为突出, 动量在 0.3—0.4GeV, 无论是哪种粒子鉴别方法, p 的鉴别效率要比 \bar{p} 高出约 50%。既要保证一定的 p, \bar{p} 鉴别效率, 又要尽可能地排出本底, 综合权衡 3 种粒子鉴别方法对 p, \bar{p} 的鉴别效率和其他带电粒子混入情况, 可以得出如下的结论: (1) 如果在强子中挑选出 $p(p)$, 动量低于 0.8GeV 只用 dE/dx 鉴别; 动量高于 0.8GeV 用 dE/dx 和 TOF 相联合的方法进行粒子鉴别。 (2) 如若将 $p(p)$ 与轻子区分开, 在动量

低于 0.6GeV 只用 dE/dx 鉴别, 高于 0.6GeV 只用 TOF 实现粒子鉴别。(3) 如果在所有带电粒子中挑选 $p(\bar{p})$, 建议在动量低于 0.6GeV 只用 dE/dx 鉴别, 高于 0.6GeV 不要单独使用 dE/dx , 而是使用 TOF 或联合的方法。本文所研究的 μ 样本动量高于 0.8GeV, 原因是低动量 μ 在 BES 上很少, 所以我们可以忽略低动量 μ 在 $p(\bar{p})$ 中的污染。

作者感谢刘连寿、朱永生、薛生田、胡海明、黄光顺、陈江川、季晓斌、李刚、蔡啸等同志对本工作给予的建议和帮助。

参考文献(References)

- 1 BAI Jing-Zhi et al. Phys. Rev. Lett., 2002, **88**: 101802
- 2 YUAN Chang-Zheng. Study of Selected Topics in τ -Charm Energy Region. Postdoctoral Report, 1999, 28

- 3 LI Hui-Hong. The 10th BES Annual Meeting, 2001, 173
- 4 Sternheimer R M, Peierls R F. Phys. Rev., 1971, **3**: 3681
- 5 RONG Gang et al. HEP & NP, 1996, **20**: 577 (in Chinese)
(荣刚等. 高能物理与核物理, 1996, **20**: 577)

Study of the p and \bar{p} Identification at BES II *

LI Hui-Hong^{1,2;1)} LIU Feng¹ LI Jin² YUAN Chang-Zheng² WANG Zhi-Yong^{2,3}

1 (Institute of Particle Physics, Hua Zhong Normal University, Wuhan 430079, China)

2 (Institute of High Energy Physics, CAS, Beijing 100039, China)

3 (China Center of Advanced Science and Technology, Beijing 100080, China)

Abstract Based on three methods of particle identification(PID) of BES, we study the identification of p and \bar{p} in momentum range from 0.3 to 1.2 GeV using real particle samples of e, μ, π, K, p and \bar{p} which were collected in 2—5GeV R scan, J/ψ and ψ' data taking periods. The paper presents the optimized method of PID: $p(\bar{p})$ is identified by dE/dx only if momentum below 0.6GeV, and by TOF or the combination of dE/dx and TOF for higher momentum. The PID efficiency of p, \bar{p} and contamination from the other charged particles are also given.

Key words BES II, proton, antiproton, particle identification

Received 17 December 2002

* Supported by National Natural Science Foundation of China(19991480, 19825116, 19805009), and Major Subject of The Chinese Academy of Science (KJ95T-03), and 100 Talents Programme of CAS(u-25)

1) E-mail: lihh@mail.ihep.ac.cn